

Starkniederschlagshöhen und -spenden gemäß KOSTRA-DWD-2020

Rasterfeld 74164

(Zeile 74, Spalte 164)

Regenspende und Bemessungsniederschlagswerte in Abhängigkeit von Wiederkehrzeit T und Dauerstufe D

| Dauerstufe D | | Wiederkehrzeit T | | | | | | | | | | | | | | | | | |
|--------------|-----|------------------|------------|------|------------|------|------------|------|------------|------|------------|-------|------------|-------|------------|-------|------------|-------|------------|
| | | 1 a | | 2 a | | 3 a | | 5 a | | 10 a | | 20 a | | 30 a | | 50 a | | 100 a | |
| min | Std | mm | l / (s ha) | mm | l / (s ha) | mm | l / (s ha) | mm | l / (s ha) | mm | l / (s ha) | mm | l / (s ha) | mm | l / (s ha) | mm | l / (s ha) | mm | l / (s ha) |
| 5 | | 5,7 | 190,0 | 7,1 | 236,7 | 8,0 | 266,7 | 9,2 | 306,7 | 10,8 | 360,0 | 12,5 | 416,7 | 13,6 | 453,3 | 15,1 | 503,3 | 17,2 | 573,3 |
| 10 | | 7,7 | 128,3 | 9,7 | 161,7 | 10,8 | 180,0 | 12,4 | 206,7 | 14,6 | 243,3 | 16,9 | 281,7 | 18,4 | 306,7 | 20,4 | 340,0 | 23,3 | 388,3 |
| 15 | | 9,0 | 100,0 | 11,2 | 124,4 | 12,6 | 140,0 | 14,4 | 160,0 | 17,0 | 188,9 | 19,7 | 218,9 | 21,4 | 237,8 | 23,7 | 263,3 | 27,0 | 300,0 |
| 20 | | 9,9 | 82,5 | 12,3 | 102,5 | 13,8 | 115,0 | 15,8 | 131,7 | 18,7 | 155,8 | 21,6 | 180,0 | 23,6 | 196,7 | 26,1 | 217,5 | 29,7 | 247,5 |
| 30 | | 11,2 | 62,2 | 14,0 | 77,8 | 15,7 | 87,2 | 17,9 | 99,4 | 21,2 | 117,8 | 24,5 | 136,1 | 26,7 | 148,3 | 29,6 | 164,4 | 33,7 | 187,2 |
| 45 | | 12,6 | 46,7 | 15,7 | 58,1 | 17,6 | 65,2 | 20,1 | 74,4 | 23,8 | 88,1 | 27,5 | 101,9 | 30,0 | 111,1 | 33,2 | 123,0 | 37,8 | 140,0 |
| 60 | 1 | 13,6 | 37,8 | 17,0 | 47,2 | 19,1 | 53,1 | 21,8 | 60,6 | 25,7 | 71,4 | 29,8 | 82,8 | 32,4 | 90,0 | 35,9 | 99,7 | 40,9 | 113,6 |
| 90 | 1,5 | 15,1 | 28,0 | 18,9 | 35,0 | 21,2 | 39,3 | 24,2 | 44,8 | 28,6 | 53,0 | 33,1 | 61,3 | 36,1 | 66,9 | 39,9 | 73,9 | 45,5 | 84,3 |
| 120 | 2 | 16,3 | 22,6 | 20,3 | 28,2 | 22,8 | 31,7 | 26,1 | 36,3 | 30,8 | 42,8 | 35,6 | 49,4 | 38,8 | 53,9 | 43,0 | 59,7 | 49,0 | 68,1 |
| 180 | 3 | 18,0 | 16,7 | 22,5 | 20,8 | 25,2 | 23,3 | 28,9 | 26,8 | 34,1 | 31,6 | 39,4 | 36,5 | 43,0 | 39,8 | 47,6 | 44,1 | 54,2 | 50,2 |
| 240 | 4 | 19,4 | 13,5 | 24,1 | 16,7 | 27,1 | 18,8 | 31,0 | 21,5 | 36,6 | 25,4 | 42,3 | 29,4 | 46,1 | 32,0 | 51,1 | 35,5 | 58,2 | 40,4 |
| 360 | 6 | 21,4 | 9,9 | 26,7 | 12,4 | 29,9 | 13,8 | 34,2 | 15,8 | 40,4 | 18,7 | 46,7 | 21,6 | 50,9 | 23,6 | 56,4 | 26,1 | 64,2 | 29,7 |
| 540 | 9 | 23,6 | 7,3 | 29,4 | 9,1 | 33,0 | 10,2 | 37,7 | 11,6 | 44,5 | 13,7 | 51,6 | 15,9 | 56,2 | 17,3 | 62,2 | 19,2 | 70,8 | 21,9 |
| 720 | 12 | 25,3 | 5,9 | 31,5 | 7,3 | 35,4 | 8,2 | 40,4 | 9,4 | 47,7 | 11,0 | 55,3 | 12,8 | 60,2 | 13,9 | 66,6 | 15,4 | 75,9 | 17,6 |
| 1080 | 18 | 27,9 | 4,3 | 34,7 | 5,4 | 39,0 | 6,0 | 44,6 | 6,9 | 52,6 | 8,1 | 60,9 | 9,4 | 66,3 | 10,2 | 73,4 | 11,3 | 83,6 | 12,9 |
| 1440 | 24 | 29,8 | 3,4 | 37,2 | 4,3 | 41,7 | 4,8 | 47,7 | 5,5 | 56,3 | 6,5 | 65,2 | 7,5 | 71,1 | 8,2 | 78,7 | 9,1 | 89,6 | 10,4 |
| 2880 | 48 | 35,2 | 2,0 | 43,9 | 2,5 | 49,3 | 2,9 | 56,3 | 3,3 | 66,5 | 3,8 | 77,0 | 4,5 | 83,8 | 4,8 | 92,8 | 5,4 | 105,7 | 6,1 |
| 4320 | 72 | 38,8 | 1,5 | 48,3 | 1,9 | 54,2 | 2,1 | 62,0 | 2,4 | 73,2 | 2,8 | 84,8 | 3,3 | 92,3 | 3,6 | 102,2 | 3,9 | 116,4 | 4,5 |
| 5760 | 96 | 41,5 | 1,2 | 51,8 | 1,5 | 58,1 | 1,7 | 66,4 | 1,9 | 78,4 | 2,3 | 90,8 | 2,6 | 98,9 | 2,9 | 109,5 | 3,2 | 124,7 | 3,6 |
| 7200 | 120 | 43,8 | 1,0 | 54,6 | 1,3 | 61,3 | 1,4 | 70,0 | 1,6 | 82,7 | 1,9 | 95,7 | 2,2 | 104,2 | 2,4 | 115,4 | 2,7 | 131,5 | 3,0 |
| 8640 | 144 | 45,7 | 0,9 | 57,0 | 1,1 | 64,0 | 1,2 | 73,1 | 1,4 | 86,3 | 1,7 | 99,9 | 1,9 | 108,9 | 2,1 | 120,5 | 2,3 | 137,3 | 2,6 |
| 10080 | 168 | 47,4 | 0,8 | 59,1 | 1,0 | 66,4 | 1,1 | 75,9 | 1,3 | 89,6 | 1,5 | 103,7 | 1,7 | 112,9 | 1,9 | 125,0 | 2,1 | 142,4 | 2,4 |

Starkniederschlagshöhen und -spenden gemäß KOSTRA-DWD-2020

Rasterfeld 74164

(Zeile 74, Spalte 164)

Örtliche Unsicherheiten in Abhängigkeit von Wiederkehrzeit T und Dauerstufe D

| Dauerstufe D | | Wiederkehrzeit T | | | | | | | | |
|--------------|-----|------------------|-----|-----|-----|------|------|------|------|-------|
| | | 1 a | 2 a | 3 a | 5 a | 10 a | 20 a | 30 a | 50 a | 100 a |
| min | Std | ± % | ± % | ± % | ± % | ± % | ± % | ± % | ± % | ± % |
| 5 | | 12 | 11 | 11 | 11 | 12 | 12 | 12 | 13 | 13 |
| 10 | | 10 | 12 | 12 | 13 | 15 | 16 | 16 | 17 | 17 |
| 15 | | 12 | 14 | 15 | 16 | 17 | 18 | 19 | 19 | 20 |
| 20 | | 12 | 15 | 16 | 17 | 18 | 20 | 20 | 21 | 21 |
| 30 | | 14 | 16 | 17 | 18 | 20 | 21 | 22 | 22 | 23 |
| 45 | | 14 | 17 | 18 | 19 | 21 | 22 | 22 | 23 | 24 |
| 60 | 1 | 14 | 17 | 18 | 19 | 21 | 22 | 22 | 23 | 24 |
| 90 | 1,5 | 14 | 16 | 18 | 19 | 20 | 21 | 22 | 23 | 23 |
| 120 | 2 | 13 | 16 | 17 | 18 | 20 | 21 | 22 | 22 | 23 |
| 180 | 3 | 13 | 15 | 16 | 18 | 19 | 20 | 21 | 21 | 22 |
| 240 | 4 | 12 | 15 | 16 | 17 | 19 | 20 | 20 | 21 | 22 |
| 360 | 6 | 12 | 14 | 15 | 16 | 18 | 19 | 19 | 20 | 21 |
| 540 | 9 | 11 | 13 | 14 | 15 | 17 | 18 | 18 | 19 | 20 |
| 720 | 12 | 11 | 13 | 14 | 15 | 16 | 17 | 18 | 18 | 19 |
| 1080 | 18 | 11 | 12 | 13 | 14 | 16 | 16 | 17 | 18 | 18 |
| 1440 | 24 | 11 | 12 | 13 | 14 | 15 | 16 | 17 | 17 | 18 |
| 2880 | 48 | 12 | 13 | 13 | 14 | 15 | 16 | 16 | 16 | 17 |
| 4320 | 72 | 14 | 14 | 14 | 14 | 15 | 16 | 16 | 16 | 17 |
| 5760 | 96 | 15 | 14 | 15 | 15 | 15 | 16 | 16 | 17 | 17 |
| 7200 | 120 | 16 | 15 | 15 | 15 | 16 | 16 | 16 | 17 | 17 |
| 8640 | 144 | 16 | 16 | 16 | 16 | 16 | 17 | 17 | 17 | 17 |
| 10080 | 168 | 17 | 16 | 16 | 16 | 17 | 17 | 17 | 17 | 18 |

Parameter für abweichende T und D

Lokationsparameter ξ (Xi)

14,05744532

Skalenparameter α (Alpha)

4,81423793

Formparameter κ (Kappa)

-0,1

1. Koutsoyiannis-Parameter θ (Theta)

0,04144396

2. Koutsoyiannis-Parameter η (Eta)

0,7624928

Parameter für dauerstufenübergreifende Extremwertschätzung nach KOUTSOYIANNIS et al. 1998.

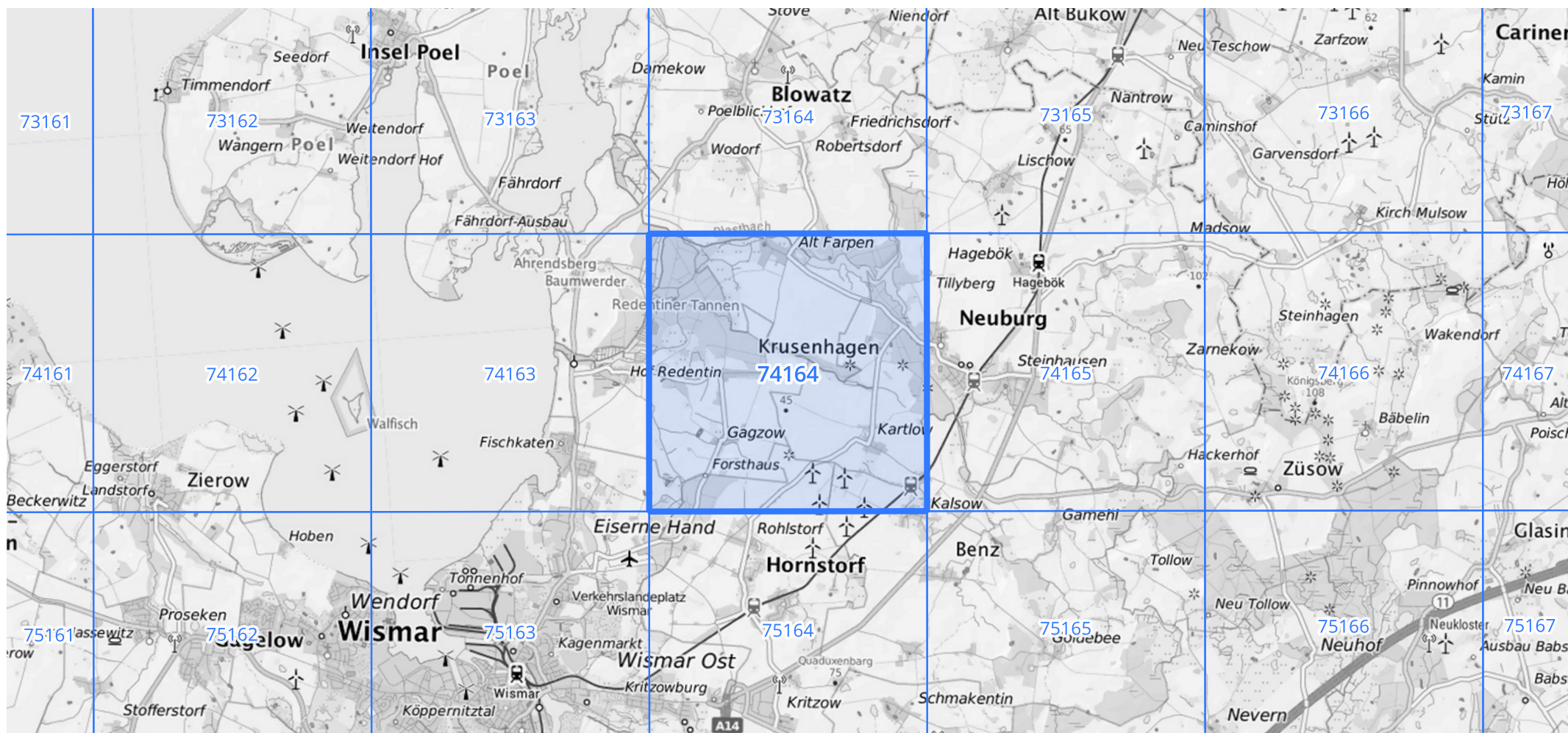
Siehe auch Anwendungshilfe zu KOSTRA-DWD-2020 des Deutschen Wetterdienstes.

Starkniederschlagshöhen und -spenden gemäß KOSTRA-DWD-2020

Rasterfeld 74164

(Zeile 74, Spalte 164)

Übersichtskarte des Rasterfeldes 74164, M 1 : 100 000



Quelle Rasterdaten: KOSTRA-DWD-2020 des Deutschen Wetterdienstes, Stand 12/2022.

Seite 3 von 3

Kartendarstellung: © Bundesamt für Kartographie und Geodäsie (2023), Datenquellen: https://sgx.geodatenzentrum.de/web_public/gdz/datenquellen/Datenquellen_TopPlusOpen.html

Für die Richtigkeit und Aktualität der Angaben wird keine Gewähr übernommen. Erstellt 01/2023.